
Optimization of active networks in the presence of based on photovoltaic and battery resources

Reza Ebrahimi

Department of Electrical Engineering, Gorgan Branch, Islamic Azad University, Gorgan, Iran

Abstract:

In this study, an approach based on mixed integer quadratic conic programming is proposed for energy management of active distribution networks with renewable energy-based prosumers (photovoltaics and energy storage). In this approach, a multi-objective model is formulated to reduce the electricity cost of processors, the cost of network energy losses, and the cost of renewable power outages. The goal of this model is to optimize the performance of the distribution network under conditions of resource uncertainty. The simulation results in different distribution networks (33 buses and 69 buses) showed that the proposed method is significantly more effective in reducing energy losses, reducing voltage deviations, and improving load distribution than conventional methods such as Gray Wolf and Genetic algorithms. Specifically, the energy losses in the proposed method in the 69-bus network have been reduced by 0.2547 MW, which is a significant reduction compared to the Gray Wolf (0.3258 MW) and Genetic (0.3547 MW) algorithms. Also, the lowest voltage in the proposed method is equal to 0.9821 per unit, which is higher than the other algorithms (0.9721 and 0.9701 per unit). Compared to other methods, the peak load in the proposed method is reduced to 0.470 MW, which is an improvement over the Gray Wolf (0.521 MW) and Genetic (0.587 MW) algorithms. Also, the computation time in the proposed method is only 4 seconds, which is significantly faster than the Gray Wolf (69 seconds) and Genetic (196 seconds) algorithms. These results indicate the high capability of the proposed method in reducing energy losses, improving voltage quality, and increasing the efficiency of prosumers in active distribution networks.

Keywords: Distribution network, storage system, renewable resources, prosumers.

Date of sending: 2024/11/13
Acceptance date: 2025/07/07

Corresponding author's name: Reza Ebrahimi
Corresponding author's address: Department of Electrical Engineering, Gorgan Branch, Islamic Azad University, Gorgan, Iran

بهینه‌سازی شبکه‌های توزیع فعال در حضور پروسیومرهای مبتنی بر منابع فتولتائیک و باتری

علیرضا علم الهدی^۱، دانشجو دکتری، رضا ابراهیمی^{۲*}، استادیار، محمود سمیعی مقدم^۳، استادیار، محمود قنبری^۴، دانشیار

۱- گروه مهندسی برق، واحد گرگان، دانشگاه آزاد اسلامی، گرگان، ایران

۲- گروه مهندسی برق، واحد دامغان، دانشگاه آزاد اسلامی، دامغان، ایران

چکیده: در این مطالعه، یک رویکرد مبتنی بر برنامه‌ریزی مخروطی درجه دوم عدد صحیح مرکب برای مدیریت انرژی شبکه‌های توزیع فعال با پروسیومرهای مبتنی بر منابع تجدیدپذیر (فتولتائیک و ذخیره‌سازی انرژی) پیشنهاد شده است. در این رویکرد، یک مدل چند هدفه برای کاهش هزینه برق پروسیومرزها، هزینه تلفات انرژی شبکه و هزینه قطع توان منابع تجدیدپذیر فرمول بندی شده است. هدف این مدل، بهینه‌سازی عملکرد شبکه توزیع در شرایط عدم قطعیت منابع است. نتایج شبیه‌سازی‌ها در شبکه‌های توزیع مختلف (۳۳ باس و ۶۹ باس) نشان داد که روش پیشنهادی نسبت به روش‌های متدالو مانند الگوریتم‌های گرگ خاکستری و ژنتیک، به طور قابل توجهی در کاهش تلفات انرژی، کاهش انحراف ولتاژ و بهبود توزیع بار موثرتر است. به طور خاص، تلفات انرژی در روش پیشنهادی در شبکه ۶۹ باس به میزان ۰.۲۵۴۷ مگاوات کاهش قابل توجهی دارد. همچنین، کمترین ولتاژ در روش پیشنهادی برابر با ۰.۳۲۵۸ پریونیت (مگاوات) و ژنتیک (۰.۳۵۴۷ مگاوات) کاهش قابل توجهی دارد. همچنین، کمترین ولتاژ در روش پیشنهادی برابر با ۰.۹۸۲۱ پریونیت (مگاوات) کاهش یافته است که نسبت به الگوریتم گرگ خاکستری بوده که از الگوریتم‌های دیگر (۰.۹۷۲۱ و ۰.۹۷۰۱ پریونیت) بالاتر است. در مقایسه با سایر روش‌ها، پیک بار در روش پیشنهادی به ۰.۴۷۰ مگاوات کاهش یافته که نسبت به الگوریتم‌های گرگ خاکستری (۰.۵۲۱ مگاوات) و ژنتیک (۰.۵۸۷ مگاوات) بهبود یافته است. همچنین، زمان محاسبات در روش پیشنهادی تنها ۴ ثانیه است که به طور قابل توجهی سریع‌تر از الگوریتم‌های گرگ خاکستری (۰.۶۹ ثانیه) و ژنتیک (۰.۱۹۶ ثانیه) است. این نتایج نشان‌دهنده قابلیت بالای روش پیشنهادی در کاهش تلفات انرژی، بهبود کیفیت ولتاژ و افزایش بهره‌وری پروسیومرزها در شبکه‌های توزیع فعال است.

کلیدواژه‌ها: شبکه توزیع، سیستم ذخیره‌سازی، منابع تجدیدپذیر، پروسیومرزها.

تاریخ ارسال مقاله: ۱۴۰۳/۰۳/۱۰

تاریخ پذیرش مقاله: ۱۴۰۳/۱۲/۱۰

نام نویسنده‌ی مسئول: دکتر رضا ابراهیمی

نشانی نویسنده‌ی مسئول: گروه مهندسی برق، واحد گرگان، دانشگاه آزاد اسلامی، گرگان، ایران

۱- مقدمه

همکاران، ۲۰۲۳] یک مدیریت هماهنگ انرژی پروسیومرزها در یک سیستم توزیع با توجه به تراکم شبکه با هدف بهبود قابلیت اطمینان و هزینه های سیستم پیشنهاد شده است. در [L. Chen و همکاران، ۲۰۲۲] نویسندها یک مدل هماهنگ کاربرپسند برای پروسیومرهای مسکونی با در نظر گرفتن عدم تعادل ولتاژ در شبکه های توزیع با هدف رضایت خانوار و کاهش مشکلات شبکه توزیع پیشنهاد شده است. در مرجع [W. F. Ceccon و همکاران، ۲۰۲۱] به منظور حل مشکلات مدیریت انرژی پروسیومر و کنترل متصل به شبکه آن یک روش مدیریت انرژی پروسیومر بر اساس بار هوشمند با استفاده از الگوریتم بهینه سازی ازدحام ذرات پیشنهاد شده است. در [M. MansourLakourajl و همکاران، ۲۰۲۱] یک مدل بهینه سازی برای مدیریت انرژی شبکه توزیع و پروسیومرهای مبتنی بر باتری و PV با هدف کاهش هزینه تلفات شبکه و افزایش سود پرسیومرها پیشنهاد شده است. در [L. Tziovani و همکاران، ۲۰۲۲] یک مدل تصادفی انعطاف پذیر برای بهره برداری بهینه ریز شبکه های جزیره ای در حضور پروسیومرهای با نفوذ بالای منابع تجدیدپذیر به منظور کاهش شیب تغییرات بار شبکه پیشنهاد شده است. در مرجع [K. Petrou et al ۲۰۲۱] یک چارچوب چند عاملی برای سیستم توزیع که در آن پروسیومرزها با حق بیمه های مختلف تعادلی تشویق می شوند تا برق خود را در یک جامعه محلی متعادل کنند پیشنهاد شده است. در [G. Ma و همکاران، ۲۰۲۰] یک مدیریت انرژی مبتنی بر برنامه ریزی خطی عدد صحیح مرکب در زمان واقعی برای جامعه پروسیومرز هماهنگ شده با مرکز انرژی از دیدگاه تعاونی با مدیریت سمت تقاضا ارائه شده است. نویسندها در [L. Ma و همکاران، ۲۰۱۹] یک سیستم مدیریت هوشمند توان برای به حداقل رساندن سود اقتصادی در یک واحد پروسیومرز مسکونی بدون سیستم های ذخیره انرژی را پیشنهاد کردند. در [Atefeh Zomorodi Moghadam و همکاران،

انتظار می رود که با توجه به استراتژی آب و هوا و انرژی کمیسیون اروپا نفوذ بالای ادغام سیستم های فتوولتائیک (PV) در شبکه برق با هدف دستیابی به کربن زدایی کامل از عرضه انرژی اروپا تا سال ۲۰۵۰ ادامه یابد. لذا در مواردی که PV های عظیم در یک شبکه توزیع ادغام می شوند پایداری و کیفیت توان شبکه عمدهاً به دلیل غیرقابل کنترل بودن تولید PV با چالش های جدی روبرو می شود. سیستم های ذخیره سازی انرژی (ESS) یا باتری ها می توانند در کنار PV ها برای جبران اثرات منفی تولید متناوب مورد استفاده قرار گیرند. باتری ها مدیریت بهینه انرژی تولید شده توسط PV ها را امکان پذیر می کند که می تواند برای کاهش پیک، تراز کردن سطح بار و کاهش هزینه خرید و فروش برق مورد استفاده قرار گیرد. از قابلیت های دیگر ESS ها فراهم کردن فرصت های جدید بازار انرژی برای پروسیومرز (کاربرانی که انرژی مصرف می کنند، تولید می کنند، ذخیره می کنند و می فروشنند) است که می توانند مدیریت برق خود را مطابق با اطلاعات قیمت بازار برق بهینه کنند. از آنجایی که اقدامات پروسیومرز می توانند بر عملکرد این شبکه توزیع فشار ضعیف تأثیر بگذارد، اپراتور سیستم توزیع و پروسیومرز باید هماهنگ باشند. هدف این مطالعه توسعه یک استراتژی مدیریت انرژی برای به حداقل رساندن سود پروسیومرز در شبکه های توزیع با ادغام گسترده PVs-ESSs، در عین حفظ عملکرد شبکه این، قبل اعتماد و مقرر به صرفه است. در [Y. Cai و همکاران، ۲۰۱۷] یک رویکرد بازی تصادفی برای بهبود ولتاژ شبکه توزیع مبتنی بر پروسیومرهای PV پیشنهاد شده است. در [H. Saber و همکاران، ۲۰۲۲] چارچوبی برای اپراتور شبکه های توزیع سه فاز پیشنهاد می کند تا از یکپارچگی شبکه های MV-LV با استفاده از محدودیت های عملیاتی پویا برای پروسیومرزها اطمینان حاصل کند. در [J. Hu و

[Mehdi Mohammadjafari و همکاران، ۲۰۲۰] روش تکاملی برای توزیع اقتصادی انتشار در میکروگریدها را پیشنهاد کرده و [Xin Ai و همکاران، ۲۰۱۹] رویکردی توزیع شده برای مدیریت انرژی پروسیومرهای ذخیره سازی ارائه می دهد. روش بهینه سازی توزیع با استفاده از قیمت های حاشیه ای مکانی توسط [Jiaqi Chen و همکاران، ۲۰۱۹] و [Mohsen Zanganeh] معرفی شده و روش تکاملی برای بهینه سازی سیستم های توزیع را پیشنهاد می کند. [H. Karimianfard و همکاران، ۲۰۲۲] یک مدل تصادفی برای هماهنگی شبکه های برق و گاز ارائه می دهد و [Doagou-Mojarrad H] احتمالی برای مدیریت ازدحام در انتقال را معرفی کرده است. [Prajapati VK] و همکاران، ۲۰۲۳] رویکرد جامعی برای مدیریت ازدحام با استفاده از تولید پراکنده و باتری ارائه می دهد و [Drir N] و همکاران، ۲۰۲۱] یک شبکه عصبی برای مدیریت انرژی خانگی در خانه های خورشیدی معرفی می کند. [Patil MD] و همکاران، ۲۰۲۱] چارچوب مدیریت انرژی برای هماهنگی شارژ خودروهای الکتریکی با سیستم های توزیع با استفاده از بهینه سازی سلول مصنوعی بهمود یافته و الگوریتم شکار چیان دریابی را پیشنهاد می کند.

با توجه به جدول (۱) می توان شکاف مطالعاتی را در زمینه شبکه های توزیع فعال در حضور پروسیومرهای مشاهده نمود. این مقاله تنها مطالعه ای است که یک مدل کامل با در نظر گرفتن عدم قطعیت منابع،تابع چند هدفه،پروسیومرهای مبتنی بر PV و باتری را با مدل سازی تلفات و ولتاژ شبکه توزیع در نظر گرفته است، همچنین از حل کننده قدرتمند Gurobi که می توان جواب های بهینه سراسری را تضمین کرد استفاده شده است، که نسبت به حل کننده های مشابه توانایی بیشتری در رسیدن به جواب های بهینه سراسری در مسائل سخت دارد.

[۲۰۲۲] یک سیستم دو مرحله ای برای متعادل سازی شبکه بر اساس رفتار پروسیومرهای ارائه می دهد. در [Li Haoran و همکاران، ۲۰۲۲] مدلی برای کاهش هزینه های پروسیومرهای حرارتی با استفاده از ذخیره سازی حرارتی [Yu Zhou و همکاران، ۲۰۲۰] معرفی کرده است. مرجع [Vahid Sarfi و همکاران، ۲۰۲۰] کنترل بهینه ولت / وار را برای کاهش تلفات توان معرفی می کند. مدل انتشار کربن برای شبکه هایی با منابع تجدید پذیر و ذخیره سازی توسط [Chao Yang و همکاران، ۲۰۲۳] ارائه شده است. مرجع [Ivan Postnikov] از یک مدل مارکوف برای بهینه سازی قابلیت اطمینان سیستم Yasin Zabihinia گرمایشی استفاده می کند. [Gerdroodbari و همکاران، ۲۰۲۲] چارچوبی برای تعیین حدود عملیاتی PQ پویا ارائه کرده است و [A. Rajaei] و همکاران، ۲۰۲۱] از ADMM برای زمان بندی چند عامله قوی بهره می برد. روش مدیریت انرژی هیبریدی AC-DC با منطق فازی توسط [B. Liu et al] [۲۰۱۹] پیشنهاد شده و [Z. Wang] و همکاران، ۲۰۱۳] استراتژی مدیریت انرژی E. Luo و همکاران، ۲۰۲۰] یک روش دو مرحله ای برای مدیریت ازدحام در شبکه های فعال با منابع انرژی متنوع معرفی می کند و [W. Wu et al] [۲۰۲۲] سیستم کنترل بلاذرنگ برای شبکه های توزیع و انتقال یکپارچه با استفاده از نقشه یاب را معرفی کرده است. مکانیزم اشتراک انرژی مبتنی بر پروسیومرز برای به حداقل رساندن رفاه اجتماعی توسط Z. Hu and [S. Yang et al] [۲۰۲۲] پیشنهاد شده است. مرجع [F. Li] [۲۰۱۲] از شبیه سازی های سری زمانی برای مدیریت خود مختار شبکه استفاده می کند و [Amirreza Naderipour و همکاران، ۲۰۲۲] یک روش ترکیبی برای سیستم های PV- باد - باتری مقرن به صرفه معرفی می کند.

جدول (۱) مقایسه این مطالعه با مقالات مشابه

نوع مدل	در نظر گرفتن شبکه	پروسیومرز	سیستم ذخیره انرژی	منبع فتوولتائیک	چند هدفه	تصادفی	مرجع
MILP	✓	✓	-	✓	-	✓	[۲۰۱۷] و همکاران، Y. Cai]
MILP	✓	✓	✓	✓	-	-	[۲۰۲۲] و همکاران، H. Saber]
Linear	-	✓	✓	✓	✓	✓	[۲۰۲۳] و همکاران، J. Hu]
Non-linear	✓	✓	✓	✓	-	-	[۲۰۲۲] و همکاران، L. Chen]
Non-linear	✓	✓	-	✓	-	-	[۲۰۲۱] و همکاران، W. F. Ceccon]
SOCP	✓	✓	✓	✓	✓	-	[۲۰۲۱] و M. MansourLakouraj] همکاران، L. Tziovani]
MILP	-	✓	✓	✓	-	✓	[۲۰۲۲] و همکاران، L. Tziovani]
Non-linear	✓	✓	-	-	✓	-	[۲۰۲۱] K. Petrou et al]
MILP	-	✓	-	✓	✓	✓	[۲۰۲۰] G. Ma] و همکاران،
Non-linear	-	✓	-	✓	-	✓	[۲۰۱۹] L. Ma] و همکاران،
MISOCP	✓	✓	✓	✓	✓	✓	این مطالعه

در اینجا شاخص گره شبکه با n و مجموعه آن با N و شاخص زمانی با t و مجموعه آن با T نشان داده شده است. شاخص خطوط شبکه با nm و مجموعه آن با B نشان داده شده است. همچنین شاخص سناریو با S و مجموعه آن با \mathcal{S} در تظر گرفته شده است، در این مقاله عدم قطعیت منابع فتوولتائیک مبتنی بر روش سناریو گسسته انجام شده است. رابطه (۱) اولینتابع هدف در نظر گرفته شده می‌باشد که کاهش هزینه خرید و فروش انرژی پروسیومرزها می‌باشد. در اینجا c_t^S و c_t^b به ترتیب برابر ضریب هزینه متناظر با خرید ($P_{n,t}^b$) و فروش ($P_{n,t}^S$) توان در ساختمان در باس n در زمان t می‌باشد. در اینجا ΔT برابر بلندی تایم-اسلات می‌باشد، که برابر ۱ ساعت در نظر گرفته شده است. رابطه (۲)تابع هدف دوم در نظر گرفته شده را نشان می‌دهد. در اینجا کمینه‌سازی هزینه تلفات به عنوان دومین هدف در نظر گرفته شده است، که

با توجه به جدول (۱) و تفاوت‌های این مطالعه نسبت به مطالعات پیشنهادی می‌توان نوآوری‌های این مقاله را به شرح زیر تقسیم بندی نمود:

(۱) از نظر حل مسئله؛ در نظر گرفتن یک مدل مخروطی عدد صحیح مرکب و حل آن توسط حل کننده قدرتمند Gurobi و تضمین جواب‌های بهینه سراسری.

(۲) از نظر مدل‌سازی؛ ارائه یک چارچوب مدیریت انرژی در شبکه‌های توزیع فعال با در نظر گرفتن اهداف شبکه و پروسیومرهای مبتنی بر باتری و PV با عدم قطعیت منابع تجدیدپذیر.

۲. مدل‌سازی پیشنهادی

انرژی ذخیره شده در باتری را نشان می دهد که $d_{n,t}^B$ برابر حداکثر مقدار تخلیه انرژی در باتری را نشان می دهد. در (۱۹) وضعیت اولیه انرژی در باتری را نشان می دهد که $I_{n,t}^B$ برابر مقدار درصد اولیه انرژی در باتری است.

$$F_1(\mathbf{P}^b, \mathbf{P}^s) = \sum_{n \in N} \sum_{t \in T} (c_t^b P_{n,t}^b - c_t^s P_{n,t}^s) \Delta T \quad (1)$$

$$F_2(\mathbf{L}) = \sum_{nm \in B} \sum_{t \in T} c_t^b (r_{nm} l_{nm,t}) \Delta T \quad (2)$$

$$F_3(\mathbf{P}^P) = \sum_{s \in S} \sigma_s \left(\sum_{n \in N} \sum_{t \in T} c_t^p (\bar{P}_{n,t,s}^P - P_{n,t}^P) \Delta T \right) \quad (3)$$

$$F_T = \min(F_1 + F_2 + F_3) \quad (4)$$

$$\text{s.t. } P_{n,t}^b, P_{n,t}^s \geq 0 \quad \forall n \in N, t \in T \quad (5)$$

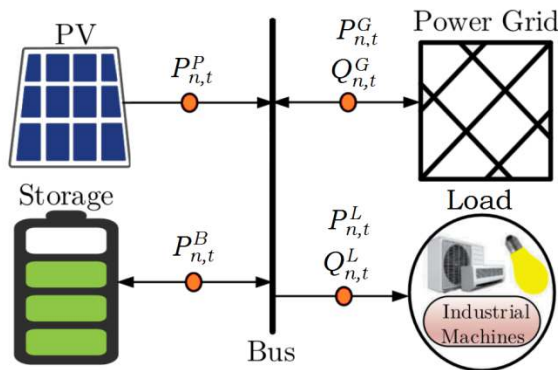
$$c_t^b \geq c_t^s \quad \forall t \in T \quad (6)$$

$$P_{n,t}^G = P_{n,t}^b - P_{n,t}^s \quad \forall n \in N, t \in T \quad (7)$$

$$\begin{aligned} P_{nm,t} &= r_{nm} l_{nm,t} + P_{n,t}^G \\ &+ \sum_{k \in N_k, k \neq n} P_{mk,t} \quad \forall nm \in B, t \in T \end{aligned} \quad (8)$$

$$\begin{aligned} Q_{nm,t} &= x_{nm} l_{nm,t} + Q_{n,t}^L \\ &+ \sum_{k \in N_k, k \neq n} Q_{mk,t} \quad \forall nm \in B, t \in T \end{aligned} \quad (9)$$

x_{nm} و r_{nm} به ترتیب نشان دهنده مقاومت و راکتانس خط $l_{nm,t}$ مربع شار جریان خط را نشان می دهد. در تابع هدف سوم (۳) کاهش قطعه توان منابع فتوولتائیک در نظر گرفته شده است، در اینجا σ_s برابر احتمال هر سناریو، $P_{n,t,s}^P$ نشان دهنده توان واقعی فتوولتائیک در هر سناریو و N نیز توان بهره برداری شده فتوولتائیک می باشد. هزینه قطعه توان فتوولتائیک با c_t^p نشان داده شده است. در نهایت (۴) نشان دهنده تابع چند هدفه پیشنهادی می باشد. محدودیت (۵) نشان می دهد که توان خریداری شده و یا فروخته شده بزرگ تر یا مساوی صفر است. در (۶) نشان می دهد که باید پارامتر هزینه خرید انرژی بزرگتر یا برابر فروش انرژی است. محدودیت (۷) تعادل خرید و فروش انرژی بین ساختمان در باس n و شبکه را نشان می دهد، که $P_{n,t}^G$ نشان دهنده تعادل توان اکتیو بین ساختمان در باس n و شبکه است. رابطه (۸) و (۹) به ترتیب تعادل توان حقیقی و راکتیو را در شبکه نشان می دهد. شار توان حقیقی و راکتیو خطوط به ترتیب با $P_{nm,t}$ و $Q_{nm,t}$ نشان داده شده است. رابطه (۱۰) تعریف ولتاژ مربعی باس شبکه ($v_{n,t}$) را نشان می دهد. رابطه (۱۱) شار توان را با ولتاژهای شین و جریان خط مرتبط می کند. در (۱۲) محدودیت ولتاژ باس شبکه نشان داده شده است. در اینجا $v_n = 1.1^2$ و $\bar{v}_n = 0.9^2$ حد بالا و پایین ولتاژ مربعی باس شبکه می باشد. تعادل توان در ساختمان با یک پروسیومرز در (۱۳) نشان داده شده است. در رابطه (۱۴) محدودیت بهره برداری از فتوولتائیک نشان داده شده است. رابطه (۱۵) انرژی مانده در باتری را نشان می دهد، که $E_{n,t}^B$ و $P_{n,t}^{dis}$ به ترتیب برابر انرژی باتری، توان شارژ و توان دشارژ باتری است. رابطه (۱۶) و (۱۷) به ترتیب محدودیت توان شارژ و دشارژ باتری را مدل می کند، در اینجا $Z_{n,t}^B$ و X_n^B برابر ظرفیت باتری و متغیر باینری نشان دهنده وضعیت شارژ و دشارژ باتری است. همچنین η_{dis} و η_{ch} نشان دهنده راندمان شارژ و دشارژ باتری می باشد. در (۱۸) محدودیت



شکل (۱) رویکرد پیشنهادی برای مدیریت انرژی شبکه توزیع فعال

در این بخش مدل‌سازی پیشنهادی معرفی شد، در بخش بعدی شبکه‌های مورد مطالعه و نتایج شبیه‌سازی ارائه می‌گردد.

۳- نتایج شبیه‌سازی

در این بخش نتایج شبیه‌سازی ارائه می‌شود. شبکه توزیع ۳۳ باس برای تجزیه و تحلیل مدل پیشنهادی در نظر گرفته شده است. پروسیومرزها روی باس‌های ۱۴، ۲۱، ۲۶ و ۳۲ قرار دارد. پروسیومرزها شامل بار خود، منبع PV و باتری می‌باشد. نتایج شبیه‌سازی در چندین مورد مختلف بررسی و مقایسه شده است که به شرح زیر می‌باشد.

حالت اول: بدون در نظر گرفتن مدیریت سمت تقاضا.

حالت دوم: در نظر گرفتن مدیریت سمت تقاضا با ۵ درصد تغییرات بار.

حالت سوم: در نظر گرفتن مدیریت سمت تقاضا با ۱۰ درصد تغییرات بار.

طبق جدول (۲)، در حالت اول، شبکه ۳۳ باس بدون هیچ گونه مدیریت سمت تقاضا بررسی شده است. نتایج نشان می‌دهد که تلفات انرژی در این حالت ۰.۱۹۰۶ مگاوات است

$$v_{n,t} = v_{m,t} - 2(r_{nm}P_{nm,t} \quad (10)$$

$$+ x_{nm}Q_{nm,t}) \\ + (r_{nm}^2 \\ + x_{nm}^2)l_{nm,t} \quad \forall nm \\ \in B, t \in T$$

$$l_{nm,t}v_{n,t} \geq P_{nm,t}^2 + Q_{nm,t}^2 \quad \forall nm \\ \in B, t \in T \quad (11)$$

$$\underline{v}_n \leq v_{n,t} \leq \bar{v}_n \quad \forall n \in N, t \in T \quad (12)$$

$$P_{n,t}^G = P_{n,t}^L - P_{n,t}^P - P_{n,t}^{dis} + P_{n,t}^{ch} \quad \forall n \\ \in N, t \in T \quad (13)$$

$$0 \leq P_{n,t}^P \leq \bar{P}_{n,t,s}^P \quad \forall n \in N, t \in T, s \\ \in S \quad (14)$$

$$E_{n,t+1}^B = E_{n,t}^B + (\eta_{ch}P_{n,t}^{ch} \\ - 1/\eta_{dis} \\ \times P_{n,t}^{dis})\Delta T \quad \forall n \in N, t \\ \in T \quad (15)$$

$$0 \leq P_{n,t}^{ch} \leq z_{n,t}^B X_n^B \quad \forall n \in N, t \in T, z \\ \in \{0,1\} \quad (16)$$

$$0 \leq P_{n,t}^{dis} \leq (1 - z_{n,t}^B)X_n^B \quad \forall n \in N, t \\ \in T, z \in \{0,1\} \quad (17)$$

$$X_n^B \times d_{n,t}^B \leq E_{n,t}^B \leq X_n^B \quad \forall n \in N, t \\ \in T \quad (18)$$

$$E_{n,t}^B = I_{n,t}^B X_n^B \quad \forall n \in N, t = 1 \quad (19)$$

حالت ۰.۹۸۸۹ پریونیت و بیشترین ولتاژ ۱۰۰۳ پریونیت است که این مقادیر نیز نشان دهنده پایداری بیشتر ولتاژ و بهینه ترین حالت ولتاژ در شبکه است. همانند حالت های قبل، هیچ گونه قطع باری در این حالت مشاهده نمی شود. کل فروش برق پروسیومرهای بهینه سازی می تواند به دلیل افزایش ۲۴۷ مگاوات افزایش یافته که می تواند به دلیل افزایش بهرهوری و کاهش تلفات باشد. پیک بار در این حالت به ۰.۳۶۹ مگاوات کاهش یافته که کمترین مقدار در بین سه حالت است، نشان دهنده بهترین توزیع بار در شبکه است. زمان محاسبه نیز در این حالت ۲ ثانیه بوده که مشابه با حالت اول است.

از تجزیه و تحلیل داده های جدول می توان نتیجه گرفت که اعمال مدیریت سمت تقاضا تاثیر قابل توجهی بر بهینه سازی شبکه ۳۳ باس دارد. با افزایش میزان مدیریت سمت تقاضا از ۵ درصد به ۱۰ درصد، تلفات انرژی کاهش یافته و پایداری ولتاژ در شبکه بهبود می یابد. همچنین، پیک بار کاهش یافته و توزیع بار بهینه تر می شود. این نتایج نشان می دهد که مدیریت سمت تقاضا نه تنها به کاهش تلفات انرژی کمک می کند بلکه باعث بهبود عملکرد کلی شبکه نیز می شود. جدول (۳) نتایج مربوط به شبکه ۶۹ باس را نشان می دهد. نتایج نشان می دهد که رویکرد پیشنهادی دارای مقایسه پذیری قابل قبولی می باشد.

جدول (۲) مقایسه نتایج بهره برداری بهینه ۲۴ ساعته هر یک از حالت ها در شبکه ۳۳ باس

حالت سوم	حالت دوم	حالت اول	
۰.۱۳۹	۰.۱۶۲	۰.۱۹۰۶	تلفات انرژی (مگاوات)
۰.۹۸۸۹	۰.۹۸۸۷	۰.۹۸۳۳	کمترین ولتاژ (پریونیت)
۱.۰۰۳	۱.۰۰۴	۱.۰۱۷۱	بیشترین ولتاژ (پریونیت)
.	.	.	قطع بار (مگاوات)
۱۹.۱۵	۱۹.۳۵	۱۹.۸۵	کل فروش برق پروسیومرهای (مگاوات)

که نسبت به حالت های دیگر بیشتر است. این امر می تواند به دلیل عدم کنترل بر تقاضا و جریان های بالاتر در شبکه باشد. کمترین ولتاژ در این حالت ۰.۹۸۳۳ پریونیت است که به نسبت حالت های دیگر پایین تر است، نشان دهنده افت ولتاژ بیشتر در شبکه است. بیشترین ولتاژ نیز در این حالت ۱۰.۱۷۱ پریونیت است که از دیگر حالت ها بیشتر است. این نوسانات ولتاژ نشان دهنده عدم بهینه سازی شبکه در غیاب مدیریت سمت تقاضا است. همچنین، هیچ گونه قطع بار در این حالت گزارش نشده و کل فروش برق پروسیومرهای (تولید کنندگان و مصرف کنندگان) ۱۹.۸۵ مگاوات و کل خرید برق ۲.۴۳ مگاوات است. پیک بار در این حالت ۰.۴۱ مگاوات بوده و زمان محاسبه ۲ ثانیه است.

در حالت دوم، مدیریت سمت تقاضا با ۵ درصد تغییرات بار اعمال شده است. تلفات انرژی در این حالت به ۰.۱۶۲ مگاوات کاهش یافته که نشان دهنده بهبود عملکرد شبکه با مدیریت تقاضا است. کمترین ولتاژ ۰.۹۸۸۷ پریونیت و بیشترین ولتاژ ۱۰.۰۴ پریونیت است که هر دو مقدار نسبت به حالت اول بهبود یافته اند و نشان دهنده پایداری بیشتر ولتاژ در شبکه است. مانند حالت اول، هیچ قطع باری در این حالت مشاهده نمی شود. کل فروش برق پروسیومرهای به ۱۹.۳۵ مگاوات کاهش یافته که ممکن است به دلیل کاهش تلفات انرژی و بهینه تر شدن توزیع بار باشد. کل خرید برق نیز به ۲.۴۵ مگاوات افزایش یافته است. پیک بار در این حالت به ۰.۳۸۶ مگاوات کاهش یافته که نشان دهنده توزیع بهتر بار در شبکه است. زمان محاسبه در این حالت ۳ ثانیه بوده که کمی بیشتر از حالت های دیگر است.

در حالت سوم، مدیریت سمت تقاضا با ۱۰ درصد تغییرات بار اعمال شده است. تلفات انرژی به ۰.۱۳۹ مگاوات کاهش یافته که کمترین مقدار در بین سه حالت است و نشان دهنده بیشترین بهینه سازی در شبکه است. کمترین ولتاژ در این

روش پیشنهادی برابر با 0.2547 مگاوات است که نسبت به الگوریتم‌های گرگ خاکستری 0.3258 مگاوات و ژنتیک 0.3547 مگاوات کاهش چشمگیری داشته است. این نشان‌دهنده کارایی بهتر روش پیشنهادی در کاهش تلفات انرژی است. در مورد ولتاژها، کمترین ولتاژ در روش پیشنهادی برابر با 0.9821 پریونیت است که از الگوریتم‌های دیگر بالاتر می‌باشد، که این به معنای بهبود کیفیت ولتاژ در شبکه است. همچنین، بیشترین ولتاژ در روش پیشنهادی برابر با 0.9792 پریونیت است که بهبود نسبت به الگوریتم‌های گرگ خاکستری و ژنتیک (0.9721 و 0.9741 پریونیت به ترتیب) را نشان می‌دهد. در مورد قطع بار، در هیچ‌کدام از روش‌ها قطع بار مشاهده نمی‌شود که نشان‌دهنده عملکرد بهینه در تأمین نیازهای بار است. در خصوص فروش و خرید برق پروسیومرزها، روش پیشنهادی با 20.54 مگاوات فروش و 4.25 مگاوات خرید، نتایج بهتری در مقایسه با سایر روش‌ها نشان می‌دهد. این نکته می‌تواند به بهبود تعادل عرضه و تقاضا در شبکه اشاره کند. در نهایت، زمان اجرای روش پیشنهادی تنها 4 ثانیه است که به طور قابل توجهی سریع‌تر از الگوریتم‌های گرگ خاکستری (69 ثانیه) و ژنتیک (196 ثانیه) است، که به مزیت بالای این روش در مقایسه با سایر روش‌ها در زمینه زمان‌بندی و پاسخگویی به نیازهای شبکه اشاره دارد.

شکل (۳) مقایسه‌ای بین وضعیت شارژ و دشارژ بهینه با تری-های پروسیومرزها در هر یک از حالت‌های در نظر گرفته شده نشان داده شده است. محور منفی y نشان از شارژ و محود مثبت y نشان‌دهنده دشارژ با تری می‌باشد. مشاهده می‌شود در زمان‌های پیک بار و در ساعتی که انرژی گران است با تری دشارژ شده است.

در شکل (۴) کل بار شبکه در 24 ساعت روی هر باس نشان داده شده است. مشاهده می‌شود که در حالت دوم که برنامه

۰.۳۶۹	0.386	0.41	پیک بار (مگاوات)
۲	۳	۲	زمان (ثانیه)

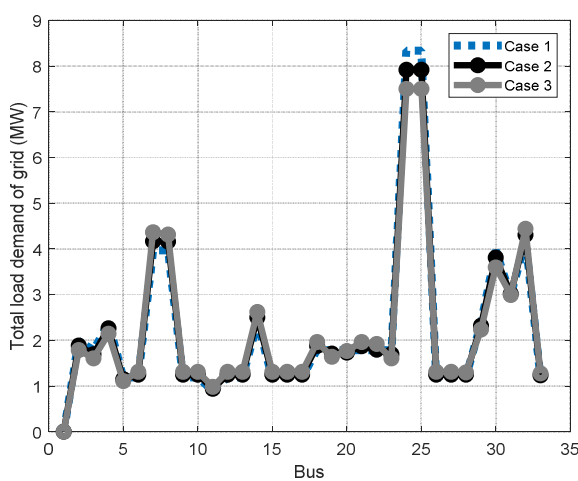
جدول (۳) مقایسه نتایج بهره‌برداری بهینه 24 ساعت هر یک از حالت‌ها در شبکه 69 باس

زمان (ثانیه)	پیک بار (مگاوات)	کل خرید برق پروسیومرزها (مگاوات)	قطع بار (مگاوات)	بیشترین ولتاژ (پریونیت)	کمترین ولتاژ (پریونیت)	تلفات انرژی (مگاوات)	حالات اول	حالات	حالات اول	حالات	حالات اول
۶	۰.۵۱۲	22.11	21.15	0.9821	0.9792	0.9741	0.9721	0.9701	0.9751	0.9754	0.2547
۶	۰.۵۲۱	4.01	3.89	4.25	4.01	3.89	4.01	4.01	4.01	4.01	4.25
۶	۰.۵۱۲	0.489	0.489	0.470	0.470	0.470	0.470	0.470	0.470	0.470	0.470
۶	۶	۶	۶	۶	۶	۶	۶	۶	۶	۶	۶

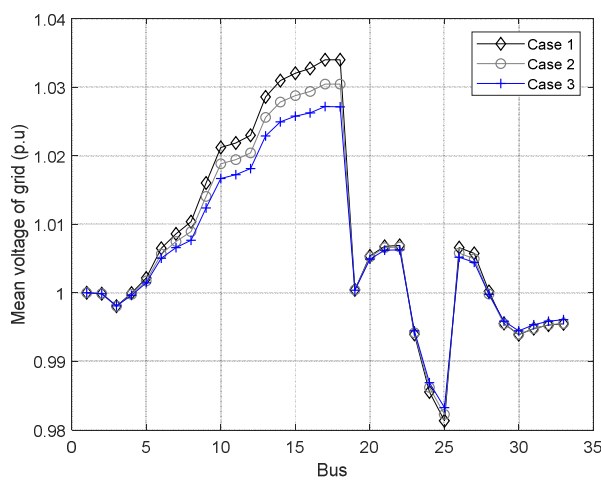
جدول (۴) مقایسه رویکرد پیشنهادی با سایر روش‌ها در شبکه بزرگ 69 باس

زمان (ثانیه)	پیک بار (مگاوات)	پروسیومرزها (مگاوات)	کل خرید برق پروسیومرزها (مگاوات)	قطع بار (مگاوات)	بیشترین ولتاژ (پریونیت)	کمترین ولتاژ (پریونیت)	تلفات انرژی (مگاوات)	حالات اول	حالات	حالات	روش پیشنهادی
۶۹	۶	۱۹۶	۱۹۶	۶	۰.۴۷۰	0.470	0.470	19.01	19.25	19.01	0.470
۶۹	۰.۵۲۱	0.587	0.587	0.521	4.25	5.25	4.25	4.58	4.58	4.58	4.25
۶۹	۰.۵۱۲	0.489	0.489	0.470	20.54	19.01	20.54	19.25	19.25	19.25	20.54
۶۹	۶	۶	۶	۶	1.002	1.03	1.002	1.025	1.025	1.025	1.002
۶۹	۰.۹۷۲۱	0.9701	0.9701	0.9721	0.9821	0.9792	0.9821	0.9721	0.9741	0.9751	0.9754
۶۹	۰.۹۷۴۱	0.97741	0.97741	0.9751	0.9792	0.9741	0.9754	0.9721	0.9751	0.9754	0.2547
۶۹	۰.۹۷۵۱	0.9754	0.9754	0.9754	0.9792	0.9741	0.9754	0.9721	0.9751	0.9754	0.2547

جدول (۴) نشان می‌دهد که در مقایسه با الگوریتم‌های گرگ خاکستری و ژنتیک، روش پیشنهادی در اکثر شاخص‌ها عملکرد بهتری از خود نشان می‌دهد. در ابتداء، تلفات انرژی در



شکل (۴) مقایسه کل بار شبکه در هر باس در هر یک از حالت ها

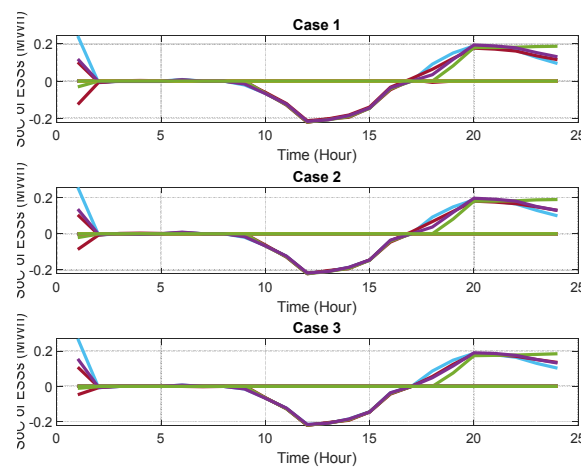


شکل (۵) مقایسه متوسط ولتاژ شبکه در هر یک از حالت ها

مدیریت سمت تقاضا با ۱۰ درصد تغییرات بار است پیک بار شبکه نسبت به حالت اول به طور چشمگیری کاهش یافته است. این نشان می دهد که برنامه مدیریت سمت تقاضا به درستی پیک بار شبکه را کاهش داده است.

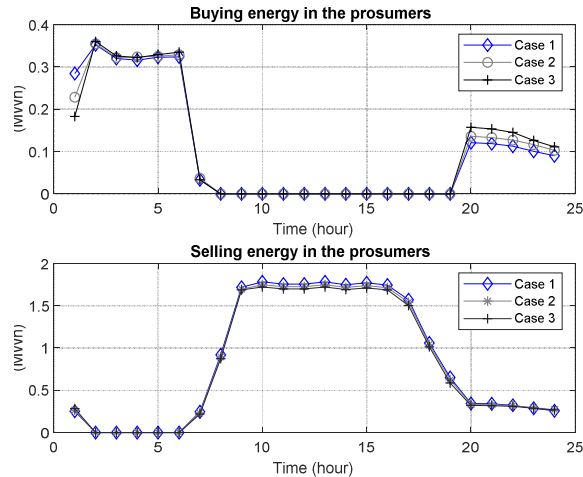
شکل (۵) مقایسه ای بین متوسط ولتاژ شبکه می باشد. در حالت سوم کمترین انحراف ولتاژ نسبت به دیگر حالت ها وجود دارد. به طور کلی هر سه حالت نشان داده شده نشان می دهد که ولتاژ شبکه در حد مطلوبی قرار با کمترین انحرافات ولتاژ می باشد.

در نهایت شکل (۶) خرید و فروش برق توسط پروسیومرها در هر یک از حالت های در نظر گرفته شده نشان می دهد. مشاهده می شود بیشترین فروش برق مربوط به ساعتی است که شبکه با پیک بار روبرو است و هزینه انرژی گران است. خرید برق توسط پروسیومرها معمولاً در ساعت اولیه و در ساعت پایان روز بوده است.



شکل (۳) مقایسه وضعیت شارژ و دشارژ بهینه باتری های پروسیومرها شبکه در ۲۴ ساعت

(گرگ خاکستری و ژنتیک) کاهش چشمگیری داشته است. این کاهش به دلیل بهینه‌سازی دقیق توزیع منابع و بار در شبکه و مدیریت بهینه توان در منابع فتوولتائیک و ذخیره‌سازی است. یکی دیگر از دلایل عملکرد دقیق مدل، پایداری ولتاژ است. یکی از چالش‌های اصلی در شبکه‌های توزیع فعال، مدیریت کیفیت ولتاژ است. در روش پیشنهادی، کمترین ولتاژ به ۰.۹۸۲۱ پریونیت و بیشترین ولتاژ به ۱.۰۰۲ پریونیت کاهش یافته است که نشان دهنده بهبود کیفیت ولتاژ در شبکه است. این بهبود نسبت به الگوریتم‌های دیگر (با کمترین ولتاژ ۰.۹۷۲۱ و بیشترین ولتاژ ۱.۰۰۲۵ پریونیت) ناشی از توانمندی الگوریتم در حفظ ولتاژ شبکه در محدوده‌ای پایدار است. کاهش پیک بار یکی دیگر از مزایای عمدۀ روش پیشنهادی است. در مقایسه با الگوریتم‌های گرگ خاکستری و ژنتیک که پیک بار ۰.۵۲۱ مگاوات و ۰.۵۸۷ مگاوات را نشان دادند، در روش پیشنهادی پیک بار به ۰.۴۷۰ مگاوات کاهش یافته است. این کاهش در پیک بار به توزیع بهینه‌تر بار و جلوگیری از بار اضافی بر روی شبکه منجر شده است. زمان محاسبات یکی از عوامل مهم در ارزیابی کارایی الگوریتم‌ها است. در این مطالعه، زمان اجرای مدل پیشنهادی تنها ۴ ثانیه بود که بسیار سریع‌تر از الگوریتم‌های گرگ خاکستری (۶۹ ثانیه) و ژنتیک (۱۹۶ ثانیه) است. این سرعت بالا در محاسبات، باعث شده که مدل پیشنهادی قابلیت کاربرد در شبکه‌های بزرگتر و پیچیده‌تر را داشته باشد. الگوریتم پیشنهادی با در نظر گرفتن عدم قطعیت در منابع فتوولتائیک و ذخیره‌سازی انرژی، به طور دقیق توانسته است بهینه‌ترین مسیرهای استفاده از منابع تجدیدپذیر را شبیه‌سازی کند. این ویژگی باعث شده که نتایج به دست آمده به طور مستقیم به واقعیت نزدیک باشد و نشان دهنده عملکرد دقیق مدل است. نتایج مدل پیشنهادی در مقایسه با الگوریتم‌های گرگ خاکستری و ژنتیک نشان دهنده مزایای واضح آن در اکثر شاخص‌های عملکردی است. این مقایسه به ویژه در زمینه



شکل (۶) مقایسه بین خرید و فروش انرژی پروسیمورزها

در پایان نتایج شبیه‌سازی عملکرد دقیق مدل و الگوریتم پیشنهادی را نشان داد. مشاهده شد که بارهای هوشمند در برنامه مدیریت سمت تقاضا تا چه میزان در خرید و فروش انرژی پروسیمورزها، شارژ و دشارژ باتری‌ها و همچنین بر روی شاخص‌های شبکه تاثیرگذار می‌باشد.

با توجه به اینکه مدل پیشنهادی یک مدل ریاضی است می‌توان به راحتی برای سیستم‌های بزرگتر و پیچیده‌تر مورد استفاده قرار گیرد. اما محدودیت‌های مهم کامپیوتی و حل مسائل در ابعاد بزرگ می‌تواند چالش‌هایی را برای حل کننده‌هایی مثل Gurobi بوجود آورد.

در بخش شبیه‌سازی، عملکرد دقیق مدل و الگوریتم پیشنهادی به دلایل مختلفی تایید شده است که باعث اعتبار نتایج به دست آمده از این مطالعه می‌شود. یکی از مهم‌ترین شاخص‌های عملکرد شبکه توزیع، تلفات انرژی است. نتایج شبیه‌سازی‌ها نشان می‌دهند که روش پیشنهادی تلفات انرژی را به طور قابل توجهی کاهش داده است. به عنوان مثال، در شبکه ۶۹ باس، تلفات انرژی در روش پیشنهادی به ۰.۲۵۴۷ مگاوات کاهش یافته است که نسبت به الگوریتم‌های دیگر

برق پروسیومرها در حالت های مدیریت شده نسبت به حالت اول کاهش یافت که نشان دهنده بهبود بهرهوری و کاهش تلفات در شبکه است. در مجموع، یافته های این مطالعه نشان می دهد که مدل پیشنهادی مبتنی بر برنامه ریزی مخروطی درجه دوم عدد صحیح مرکب، می تواند به کاهش تلفات انرژی، کاهش انحراف ولتاژ و بهبود توزیع بار در شبکه های توزیع فعال منجر شود. این نتایج به وضوح اهمیت مدیریت سمت تقاضا را در بهینه سازی عملکرد شبکه های توزیع برق و افزایش بهرهوری مصرف انرژی نشان می دهد. بنابراین، استفاده از رویکردهای مشابه در سایر شبکه های توزیع می تواند نتایج مشابهی به همراه داشته و به توسعه شبکه های توزیع پایدارتر و کارآمدتر کمک کند. پیشنهاداتی به شرح زیر برای ادامه این مقاله ارائه شده است:

- ۱- در نظر گرفتن هوش مصنوعی برای حل مدل پیشنهادی و تخمین تولید منابع تجدید پذیر و مقایسه نتایج با این مطالعه.
- ۲- مدل سازی سیستم هیدروژن و انرژی پاک به رویکرد پیشنهادی، برای تبدیل مدل به یک مدل انرژی پایدار و سبز.

مراجع

- Y. Cai, T. Huang, E. Bompard, Y. Cao and Y. Li, "Self-Sustainable Community of Electricity Prosumers in the Emerging Distribution System," in IEEE Transactions on Smart Grid, vol. 8, no. 5, pp. 2207-2216, Sept. 2017, doi: 10.1109/TSG.2016.2518241.
- H. Saber, M. Ehsan, M. Moeini-Aghetaie, H. Ranjbar and M. Lehtonen, "A User-Friendly Transactive Coordination Model for Residential Prosumers Considering Voltage Unbalance in Distribution Networks," in IEEE Transactions on Industrial

کاهش تلفات انرژی، بهبود کیفیت ولتاژ، کاهش پیک بار و زمان اجرای الگوریتم اعتبار بالای مدل پیشنهادی را نشان می دهد. این نتایج و دلایل عملکرد دقیق مدل پیشنهادی، به وضوح تایید کننده صحت و قابلیت اجرای الگوریتم در بهینه سازی شبکه های توزیع فعال در شرایط واقعی هستند.

۴- نتیجه گیری

در این مطالعه، یک رویکرد مبتنی بر برنامه ریزی مخروطی درجه دوم عدد صحیح مرکب برای مدیریت انرژی شبکه های توزیع فعال با مصرف کنندگان حرفه ای (پروسیومر) ارائه شد. نتایج حاصل از شبیه سازی شبکه ۳۳ باس تحت سه سناریوی مختلف به وضوح نشان داد که اعمال مدیریت سمت تقاضا تاثیر قابل توجهی بر بهبود عملکرد شبکه دارد. بدون در نظر گرفتن مدیریت سمت تقاضا (حالت اول)، تلفات انرژی به میزان ۰.۱۹۰۶ مگاوات مشاهده شد که نشان دهنده افت قابل توجهی در بهرهوری شبکه است. با اعمال مدیریت سمت تقاضا و تغییرات ۵ درصدی (حالت دوم) و ۱۰ درصدی (حالت سوم) در بار، تلفات انرژی به ترتیب به ۰.۱۶۲ و ۰.۱۳۹ مگاوات کاهش یافت. این کاهش تلفات انرژی بیانگر اثربخشی روش پیشنهادی در بهینه سازی مصرف انرژی در شبکه توزیع است. علاوه بر کاهش تلفات انرژی، کمترین ولتاژ شبکه در حالت های مدیریت سمت تقاضا بهبود یافت و انحراف ولتاژ کاهش پیدا کرد. در حالت دوم، کمترین ولتاژ به ۰.۹۸۸۷ پریونیت و در حالت سوم به ۰.۹۸۸۹ پریونیت رسید، در حالی که در حالت اول این مقدار ۰.۹۸۳۳ پریونیت بود. بیشترین ولتاژ نیز در حالت های مدیریت شده به ترتیب به ۱.۰۰۴ و ۱.۰۰۳ پریونیت کاهش یافت که نشان دهنده پایداری بیشتر ولتاژ در شبکه است. پیک بار شبکه نیز تحت مدیریت سمت تقاضا کاهش یافت و به ترتیب به ۰.۳۸۶ و ۰.۳۶۹ مگاوات در حالت های دوم و سوم رسید. این کاهش پیک بار به توزیع بهینه تر بار و کاهش فشار بر شبکه منجر شد. همچنین، فروش

- K. Petrou et al., "Ensuring Distribution Network Integrity Using Dynamic Operating Limits for Prosumers," in IEEE Transactions on Smart Grid, vol. 12, no. 5, pp. 2877-2888, Sept. 2021, doi: 10.1109/TSG.2021.3081371.
- G. Ma, J. Lyu, Y. Wang, J. Zhang and J. Xu, "The Prosumer Energy Management Method Based on Smart Load," in IEEE Access, vol. 8, pp. 117086-117095, 2020, doi: 10.1109/ACCESS.2020.3004557.
- L. Ma, N. Liu, J. Zhang and L. Wang, "Real-Time Rolling Horizon Energy Management for the Energy-Hub-Coordinated Prosumer Community From a Cooperative Perspective," in IEEE Transactions on Power Systems, vol. 37, no. 2, pp. 1227-1242, March 2022, doi: 10.1109/TPWRS.2018.2877226.
- Atefeh Zomorodi Moghadam, Mohammad Hossein Javidi, "Designing a two-stage transactive energy system for future distribution networks in the presence of prosumers' P2P transactions," Electric Power Systems Research, Volume 211, 10.8202, 2022.
- Haoran Li, Juan Hou, Tianzhen Hong, Natasa Nord, "Distinguish between the economic optimal and lowest distribution temperatures for heat-prosumer-based district heating systems with short-term thermal energy storage," Energy, Volume 248, 1236-1, 2022.
- Yu Zhou, Zhengshuo Li, Ming Yang, "A framework of utilizing distribution power systems as reactive power prosumers for transmission power systems," International Journal of Electrical Power & Energy Systems, Volume 121, 106139, 2020.
- Informatics, vol. 18, no. 9, pp. 5748-5759, Sept. 2022, doi: 10.1109/TII.2022.3141784.
- J. Hu, J. Wu, X. Ai and N. Liu, "Coordinated Energy Management of Prosumers in a Distribution System Considering Network Congestion," in IEEE Transactions on Smart Grid, vol. 12, no. 1, pp. 468-478, Jan. 2021, doi: 10.1109/TSG.2020.3010261.
- L. Chen, N. Liu, S. Yu and Y. Xu, "A Stochastic Game Approach for Distributed Voltage Regulation Among Autonomous PV Prosumers," in IEEE Transactions on Power Systems, vol. 37, no. 1, pp. 776-787, Jan. 2022, doi: 10.1109/TPWRS.2021.3097372.
- W. F. Ceccon, R. Z. Freire, A. L. Szejka and O. C. Junior, "Intelligent Electric Power Management System for Economic Maximization in a Residential Prosumer Unit," in IEEE Access, vol. 9, pp. 48713-48721, 2021, doi: 10.1109/ACCESS.2021.3068751.
- M. MansourLakouraj, M. J. Sanjari, M. S. Javadi, M. Shahabi and J. P. S. Catalão, "Exploitation of Microgrid Flexibility in Distribution System Hosting Prosumers," in IEEE Transactions on Industry Applications, vol. 57, no. 4, pp. 4222-4231, July-Aug. 2021, doi: 10.1109/TIA.2021.3073882.
- L. Tziovani, L. Hadjidemetriou, P. Kolios, A. Astolfi, E. Kyriakides and S. Timotheou, "Energy Management and Control of Photovoltaic and Storage Systems in Active Distribution Grids," in IEEE Transactions on Power Systems, vol. 37, no. 3, pp. 1956-1968, May 2022, doi: 10.1109/TPWRS.2021.3118785.

- E. Luo, P. Cong, H. Lu and Y. Li, "Two-Stage Hierarchical Congestion Management Method for Active Distribution Networks With Multi-Type Distributed Energy Resources," in IEEE Access, vol. 8, pp. 120309-120320, 2020, doi: 10.1109/ACCESS.2020.3005689.
- W. Wu et al., "Integrated Distribution Management System: Architecture, Functions, and Application in China," in Journal of Modern Power Systems and Clean Energy, vol. 1, no. 1, pp. 245-258, March 2022, doi: 10.35837/MPCE.2021.0006...
- S. Yang et al., "A Prosumer-Based Energy Sharing Mechanism of Active Distribution Network Considering Household Energy Storage," in IEEE Access, vol. 10, pp. 113839-113849, 2022, doi: 10.1109/ACCESS.2022.3217540.
- Z. Hu and F. Li, "Cost-Benefit Analyses of Active Distribution Network Management, Part I: Annual Benefit Analysis," in IEEE Transactions on Smart Grid, vol. 3, no. 4, pp. 1471-1474, Sept. 2012, doi: 10.1109/TSG.2012.2205412.
- Amirreza Naderipour, Hesam Kamyab, Jiří Jaromír Klemeš, Reza Ebrahimi, Shreeshivadasan Chelliapan, Saber Arabi Nowdeh, Aldrin Abdullah, Massoomeh Hedayati Marzbali, "Optimal design of hybrid grid-connected photovoltaic/wind/battery sustainable energy system improving reliability, cost and emission," Energy, Volume 257, 124679, 2022.
- Mehdi Mohammadjafari and Reza Ebrahimi and Vahid Parvin Darabad, "Multi-Objective Dynamic Economic Emission Dispatch of Microgrid Using Novel Efficient Demand
- Vahid Sarfi, Hanif Livani, "Optimal Volt/VAR control in distribution systems with prosumer DERs," Electric Power Systems Research, Volume 188, 106520, 2020.
- Chao Yang, Jinjie Liu, Huanxin Liao, Gaoqi Liang, Junhua Zhao, "An improved carbon emission flow method for the power grid with prosumers," Energy Reports, Volume 9, Pages 114-121, 2022.
- Ivan Postnikov, "Methods for the reliability optimization of district-distributed heating systems with prosumers," Energy Reports, Volume 9, Supplement 1, Pages 584-593, 2022.
- Yasin Zabihinia Gerdroodbari, Mohsen Khorasany, Reza Razzaghi, "Dynamic PQ Operating Envelopes for prosumers in distribution networks," Applied Energy, Volume 225, 119757, 2022.
- A. Rajaei, S. Fattaheian-Dehkordi, M. Fotuhi-Firuzabad, M. Moeini-Aghaie and M. Lehtonen, "Developing a Distributed Robust Energy Management Framework for Active Distribution Systems," in IEEE Transactions on Sustainable Energy, vol. 12, no. 4, pp. 1891-1902, Oct. 2021, doi: 10.1109/TSTE.2021.3070316.
- B. Liu et al., "An AC-DC Hybrid Multi-Port Energy Router With Coordinated Control and Energy Management Strategies," in IEEE Access, vol. 7, pp. 109091-109102, 2019, doi: 10.1109/ACCESS.2019.2932469.
- Z. Wang, C. Gu, F. Li, P. Bale and H. Sun, "Active Demand Response Using Shared Energy Storage for Household Energy Management," in IEEE Transactions on Smart Grid, vol. 4, no. 4, pp. 1888-1897, Dec. 2013, doi: 10.1109/TSG.2013.2258046.

- Prajapati VK, Mahajan V, Padhy NP. Congestion management of integrated transmission and distribution network with RES and ESS under stressed condition. *Int Trans Electr Energ Syst.* ۲۰۲۱; ۳۱:e1۲۷۵۷. <https://doi.org/10.1002/2050-70۴۸.1۲۷۵۷>
- Drir N, Chekired F, Rekioua D. An integrated neural network for the dynamic domestic energy management of a solar house. *Int Trans Electr Energ Syst.* ۲۰۲۱; ۳۱(۱۲):e1۲۲۲۷. doi:<https://doi.org/10.1002/2050-70۴۸.1۲۲۲۷>
- Patil MD, Aush MG, Mahadik YV, Kamble SG, Patil SV, Kharade JM. Energy management between electric vehicle charging stations and electric distribution system considering quality of service using IACSO-MPA approach. *Int Trans Electr Energ Syst.* ۲۰۲۱; ۳۱(۱۲):e1۳۲۵۵. doi:<https://doi.org/10.1002/2050-70۴۸.1۳۲۵۵>.
- Response And Zero Energy Balance Approach", *International Journal of Renewable Energy Research*, ۲۰۲۰.
- Ai, X., Wu, J., Hu, J., Yang, Z. and Yang, G. (۲۰۲۰), Distributed congestion management of distribution networks to integrate prosumers energy operation. *IET Gener. Transm. Distrib.*, ۱۴: ۲۹۸۸-۲۹۹۶. <https://doi.org/10.1049/iet-gtd.2019.1111>.
- Chen, J., Guo, Y. and Wu, W. (۲۰۲۰), Optimal dispatch scheme for DSO and prosumers by implementing three-phase distribution locational marginal prices. *IET Gener. Transm. Distrib.*, ۱۴: ۲۱۳۸-۲۱۴۶. <https://doi.org/10.1049/iet-gtd.2019.0603>.
- Mohsen Zanganeh, Mahmoud Samiei Moghaddam, Azita Azarfar, Mojtaba Vahedi, Nasrin Salehi, "Multi-area distribution grids optimization using D-FACTS devices by M-PSO algorithm", *Energy Reports*, Volume ۱, Pages ۱۳۳-۱۴۷, ۲۰۲۲.
- H. Karimianfard, H. Haghighat and B. Zeng, "Co-Optimization of Battery Storage Investment and Grid Expansion in Integrated Energy Systems," *IEEE Systems Journal*, vol. ۱۶, no. ۴, pp. ۵۹۲۸-۵۹۳۸, ۲۰۲۲. doi: [10.1109/JST.2021.3130057](https://doi.org/10.1109/JST.2021.3130057).
- Doagou-Mojarrad H, Rezaie H, Razmi H. Probabilistic integrated framework for AC/DC transmission congestion management considering system expansion, demand response, and renewable energy sources and load uncertainties. *Int Trans Electr Energ Syst.* ۲۰۲۱; ۳۱(۱۲):e1۳۱۶۸. doi:<https://doi.org/10.1002/2050-70۴۸.1۳۱۶۸>